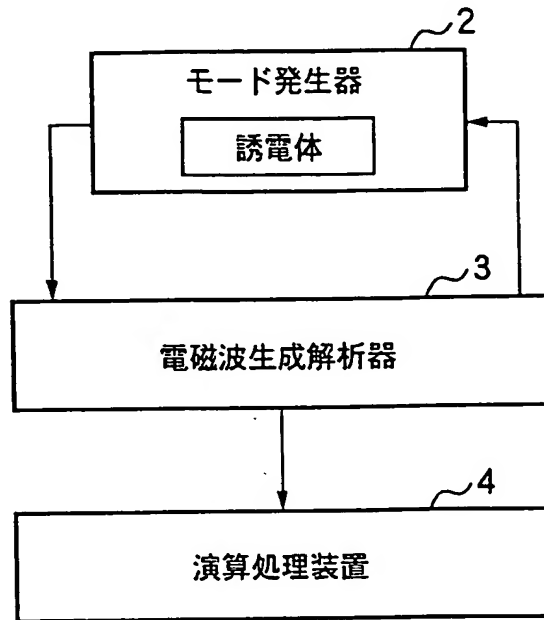


整理番号: 99P07166 特願2004-059742 (Proof) 提出日: 平成16年 3月 3日 1

【書類名】 図面

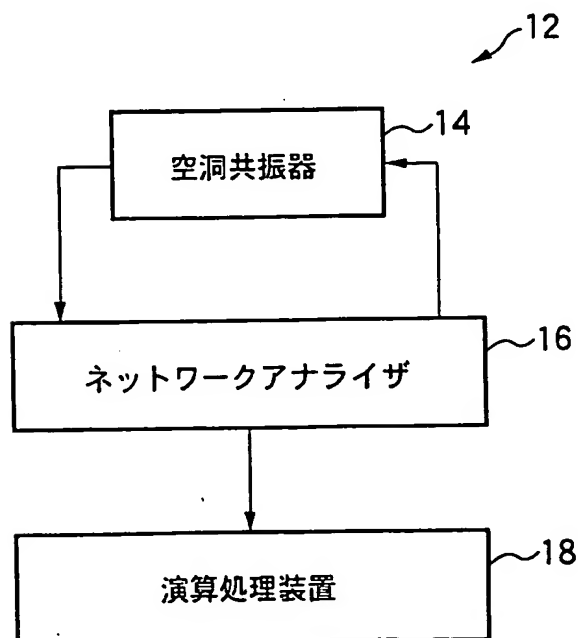
【図1】

Fig. 1



【図2】

Fig. 2



【図3】

Fig. 3

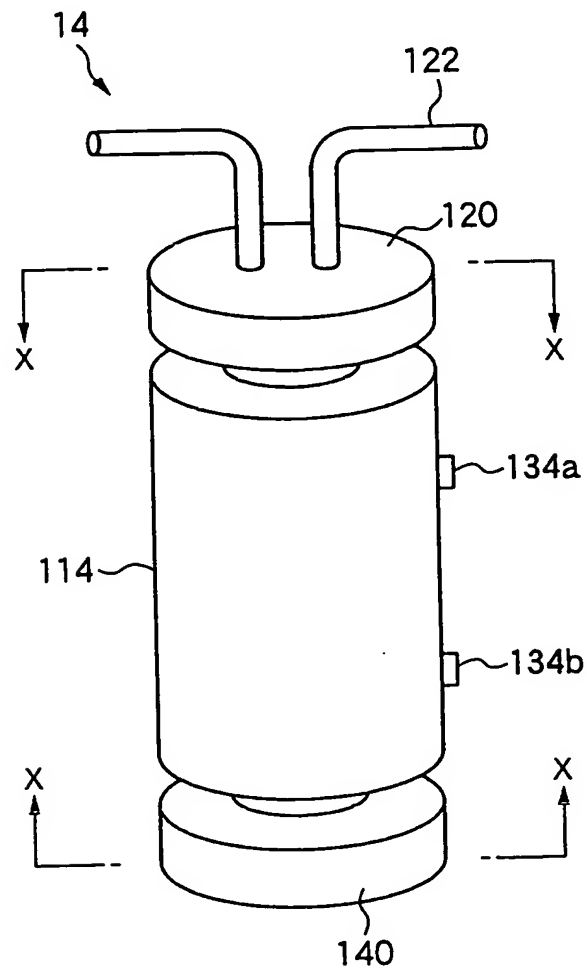
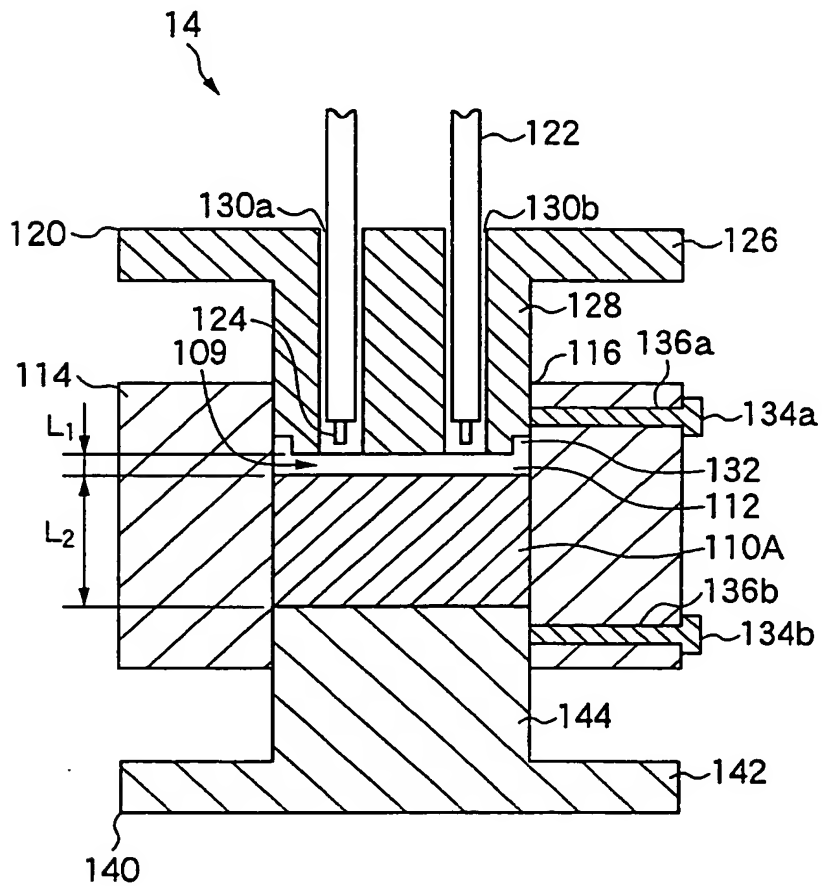


Fig. 4



【図5】

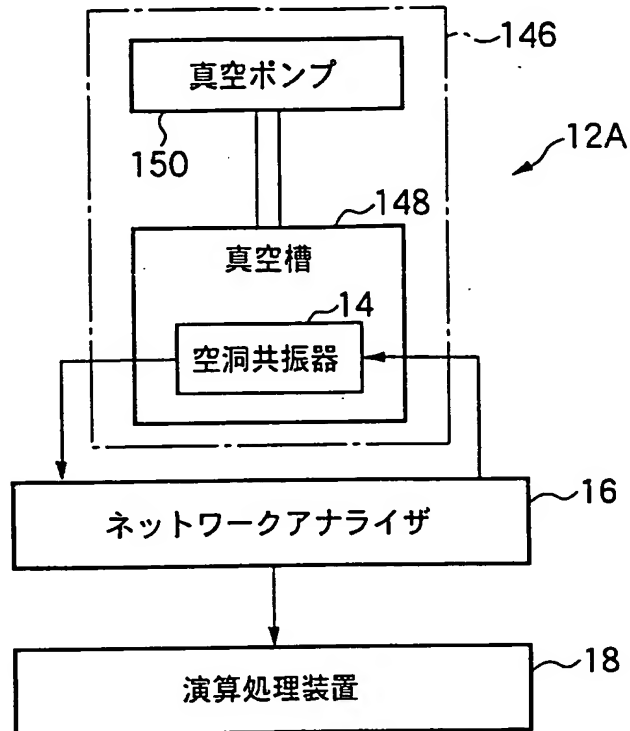
Fig. 5



整理番号: 99P07166 特願2004-059742 (Proof) 提出日: 平成16年 3月 3日 5

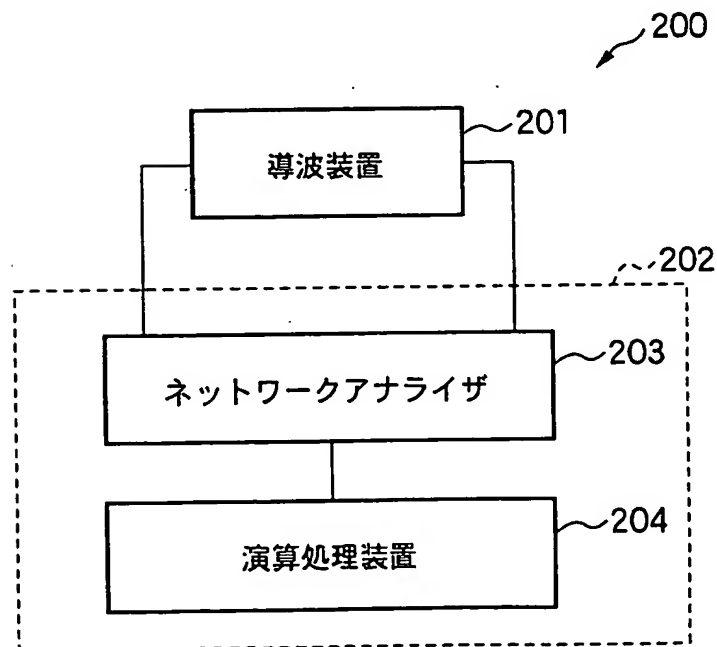
【図6】

Fig. 6



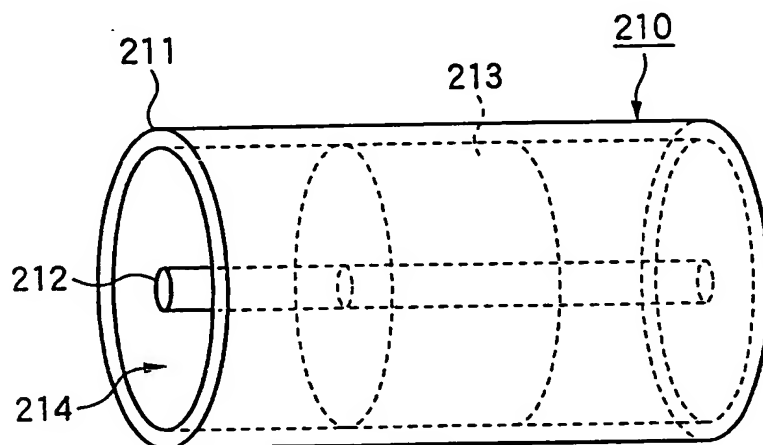
【図7】

Fig. 7



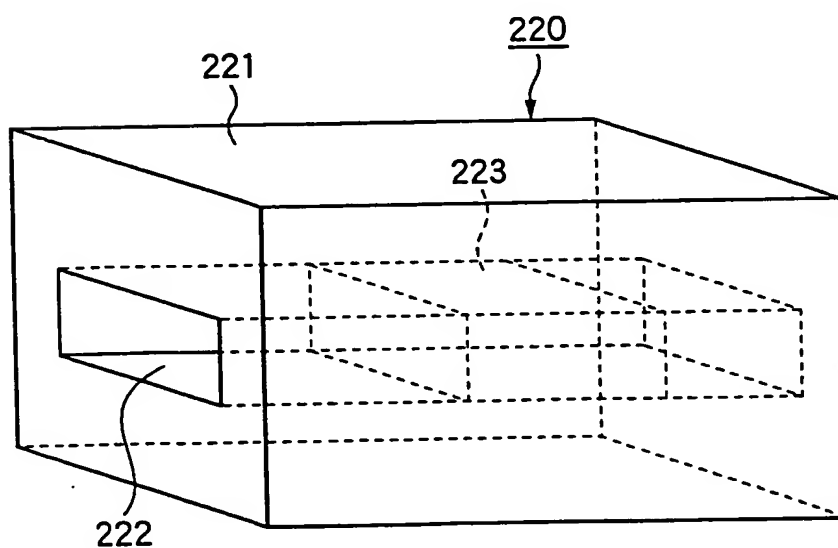
【図8】

Fig. 8



【図9】

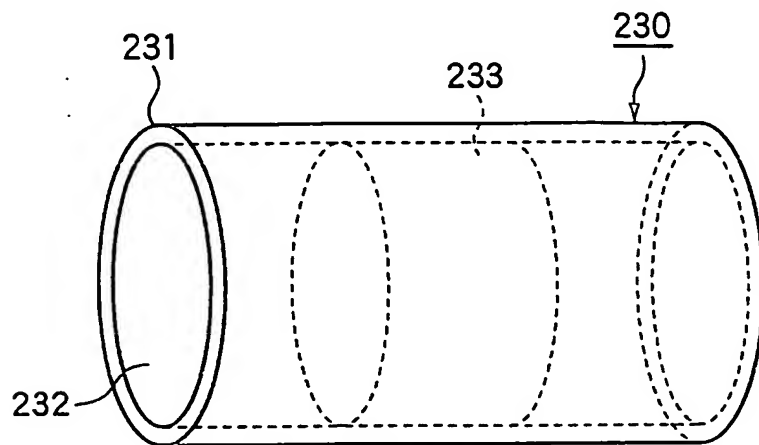
Fig. 9



整理番号: 99P07166 特願2004-059742 (Proof) 提出日: 平成16年 3月 3日 7

【図10】

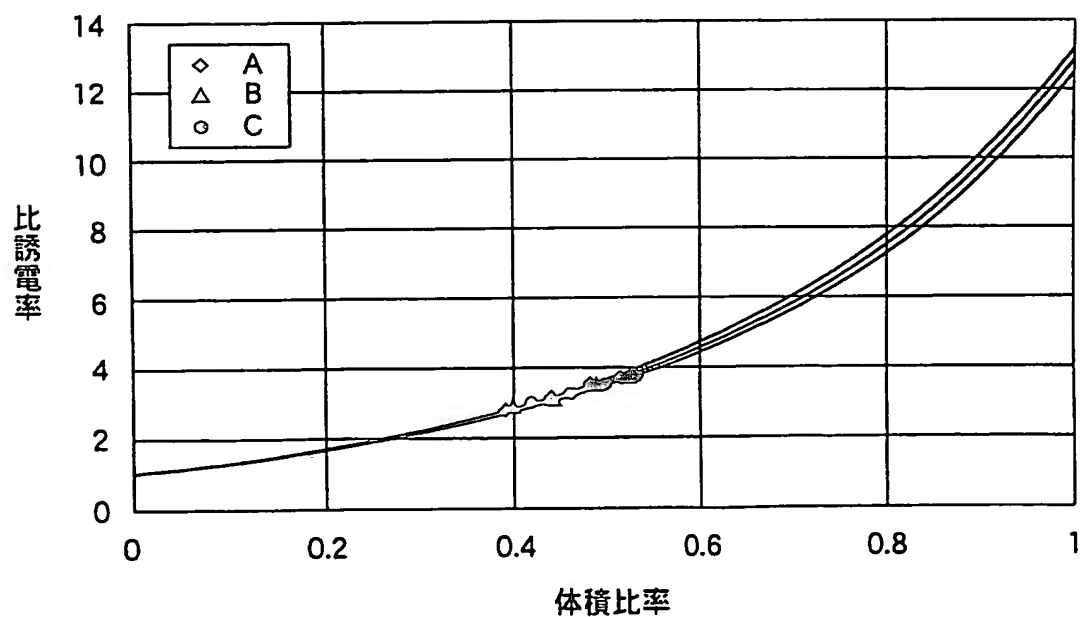
Fig. 10



【図11】

Fig. 11

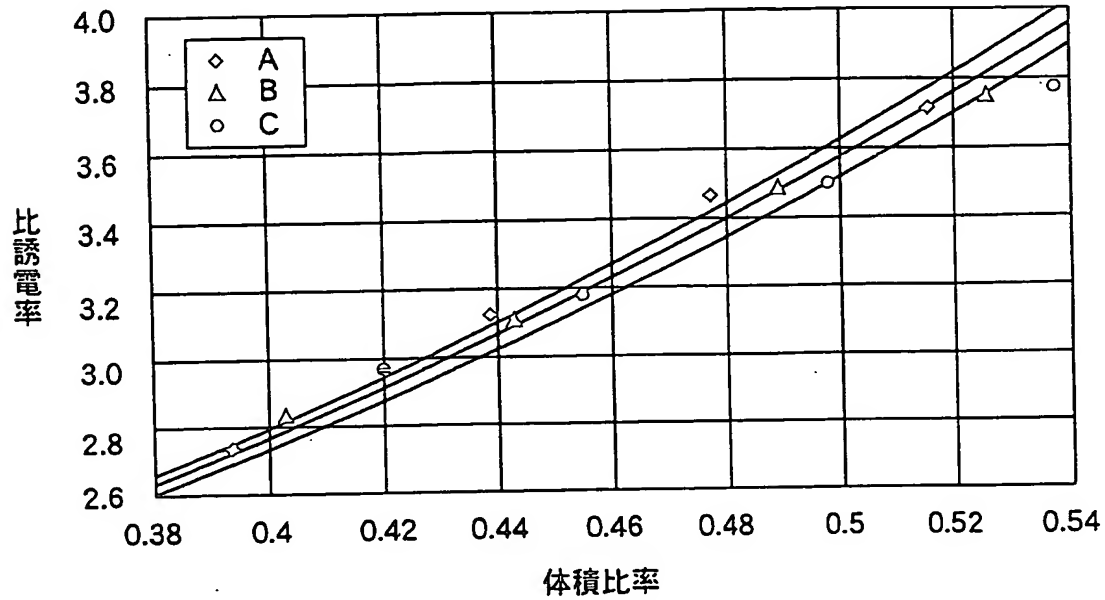
対数混合則



【図12】

Fig. 12

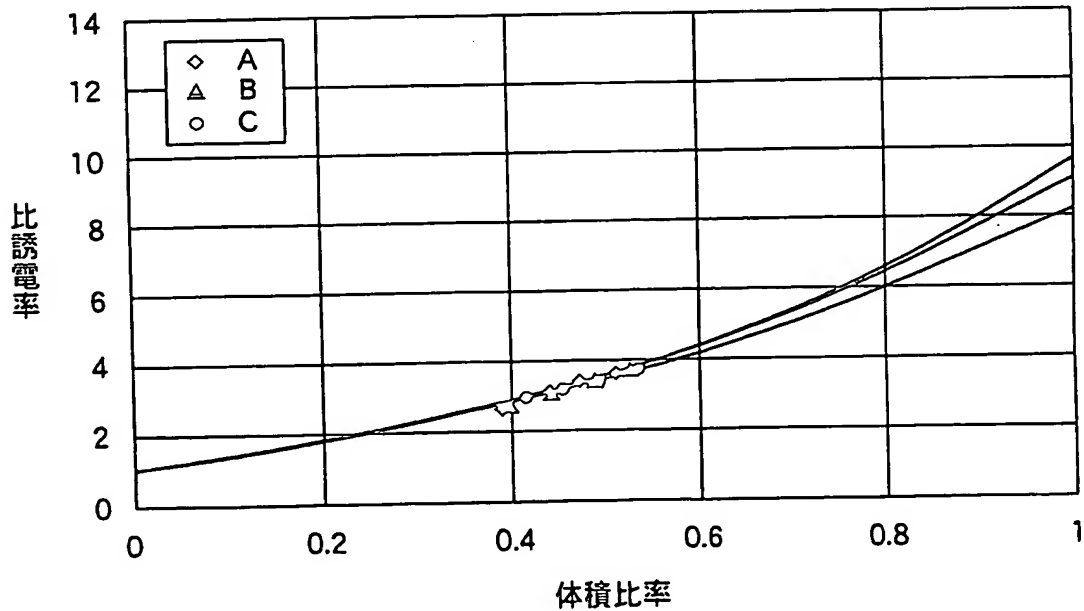
対数混合則



【図13】

Fig. 13

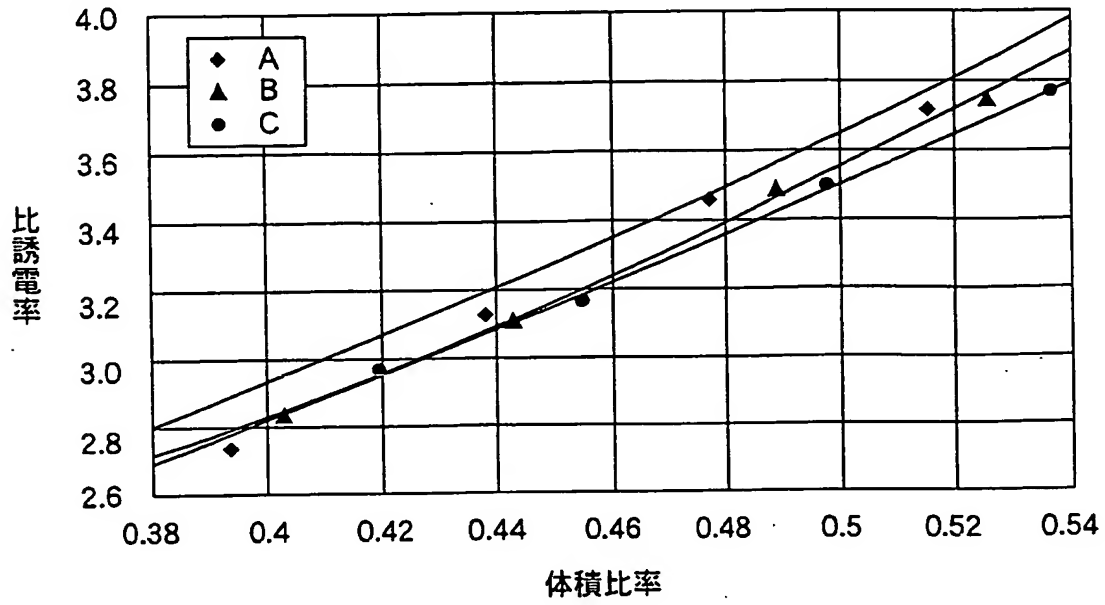
リヒトネッカーロータの式



【図14】

Fig. 14

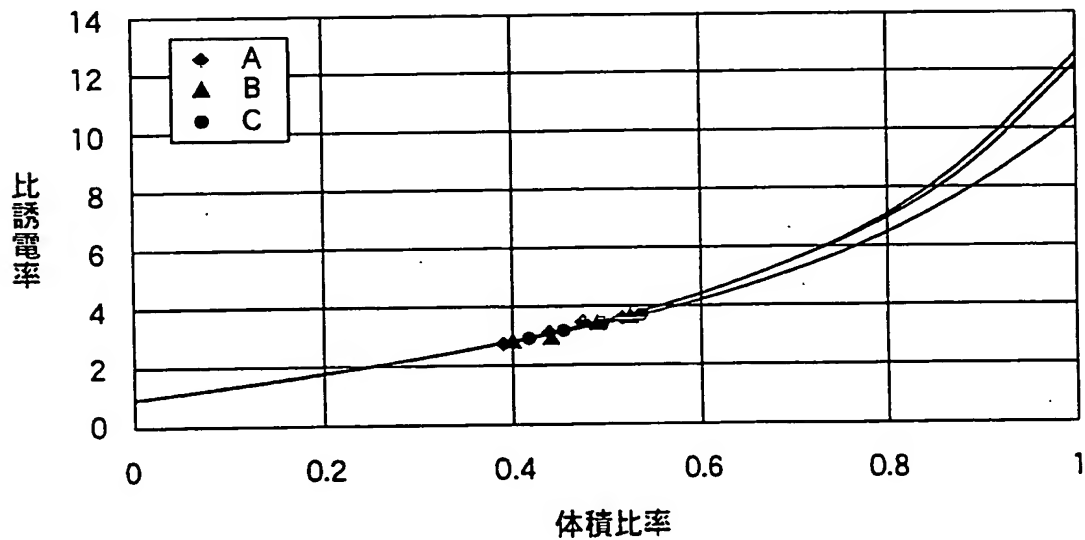
リヒトネッカーロータの式



【図15】

Fig. 15

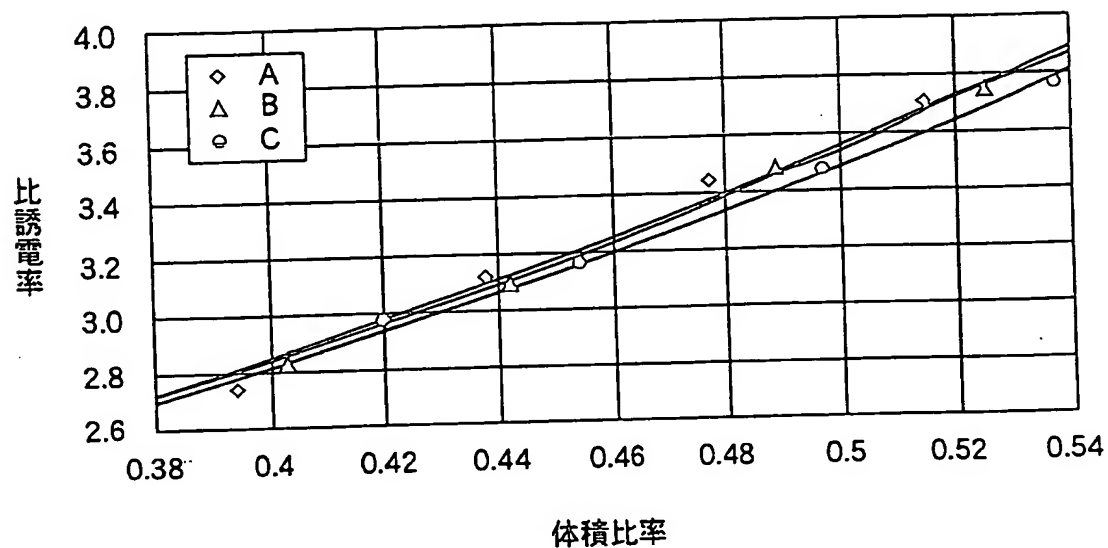
ウィナーの式



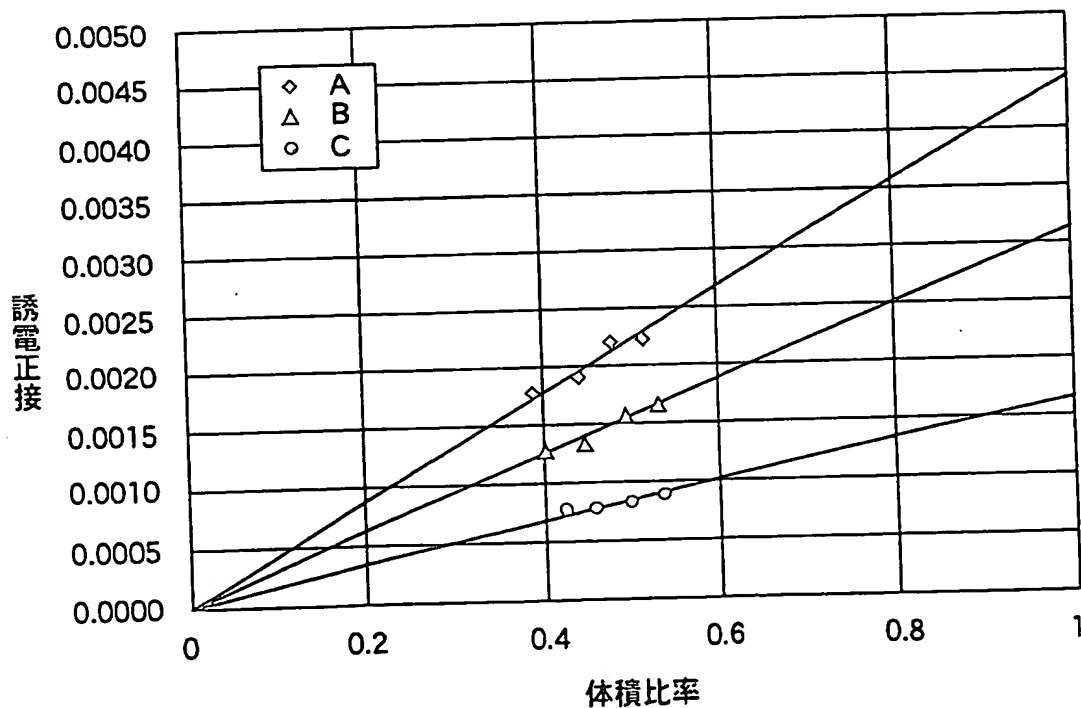
【図16】

Fig. 16

ウィナーの式

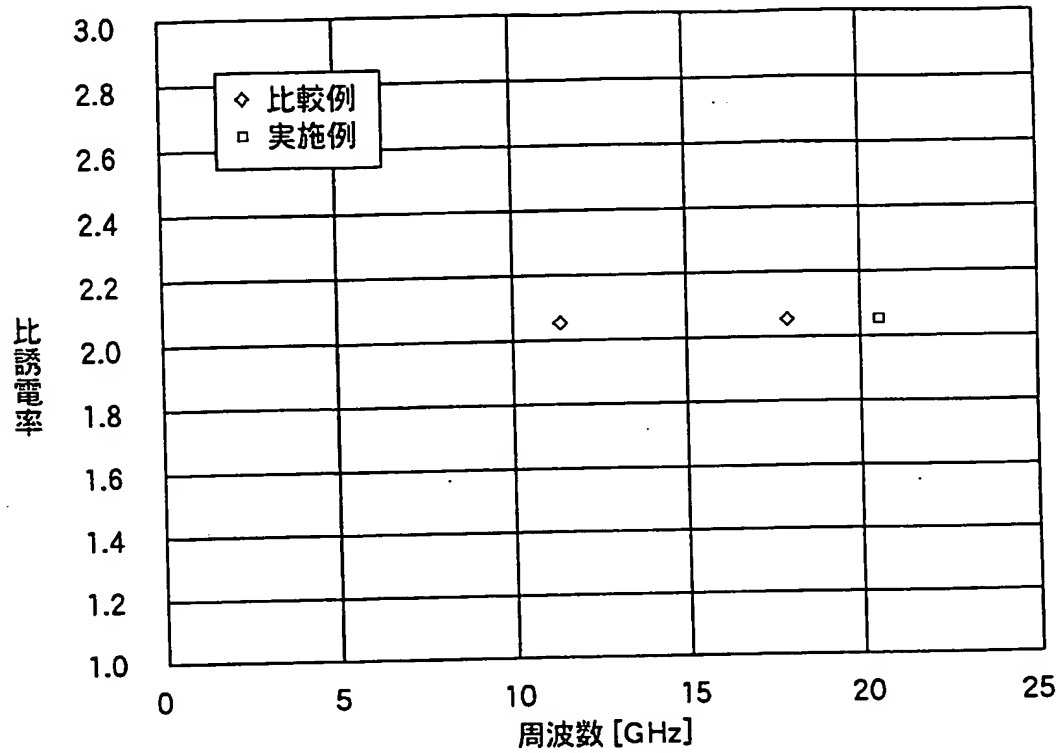


【図17】 Fig. 17

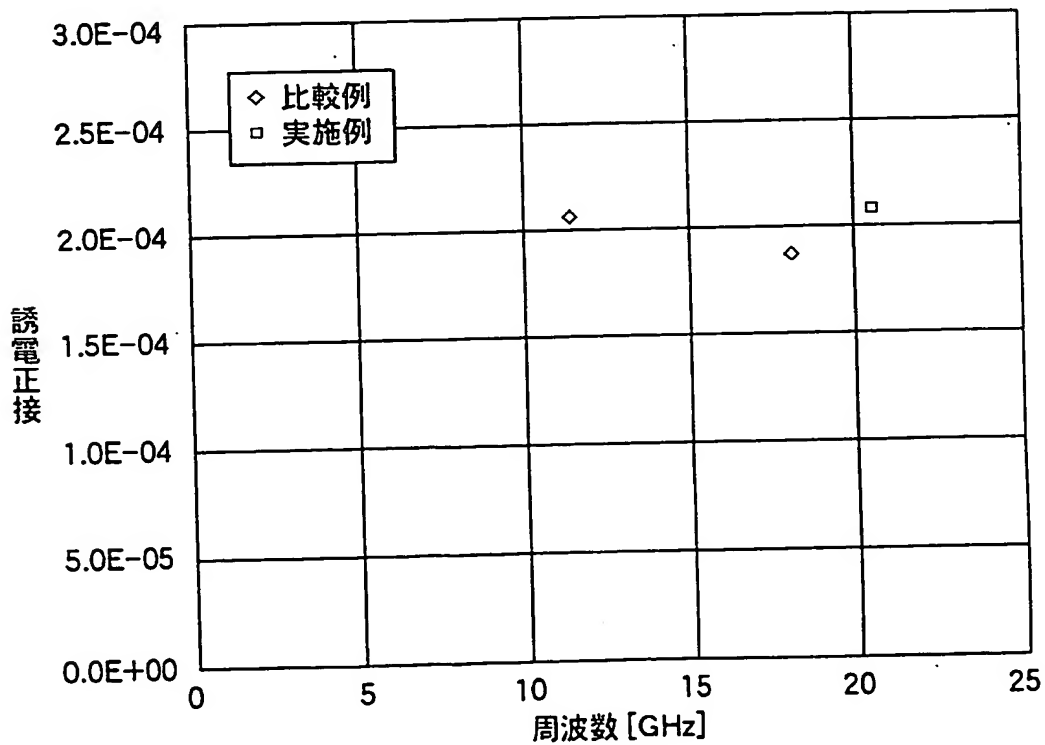


整理番号: 99P07166 特願2004-059742 (Proof) 提出日: 平成16年 3月 3日 11

~~【図18】~~ Fig. 18

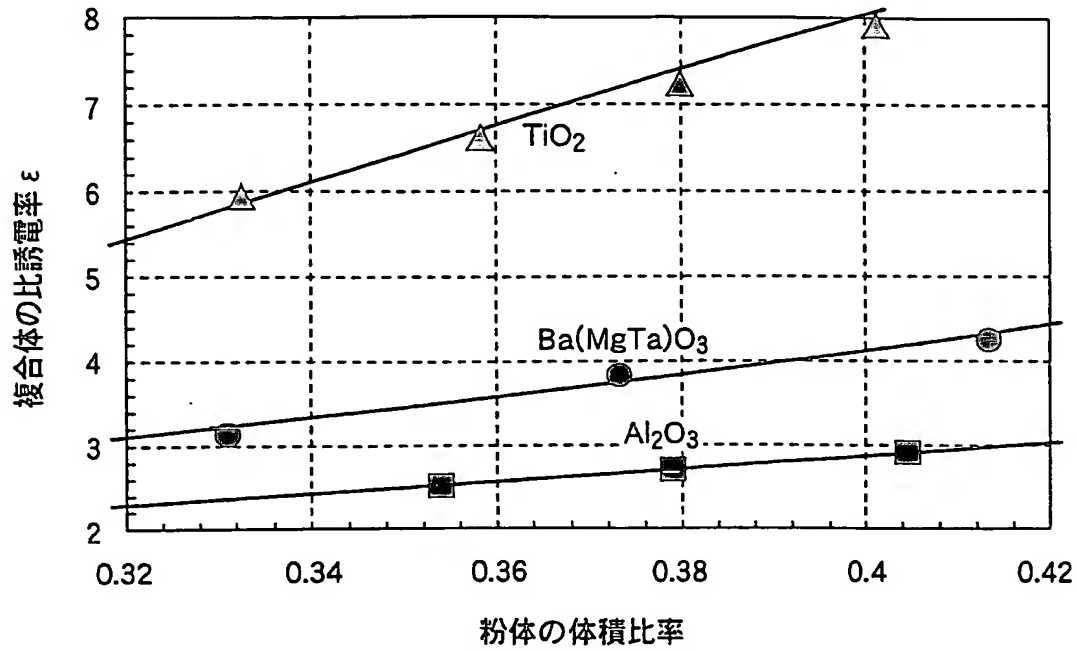


~~【図19】~~ Fig. 19

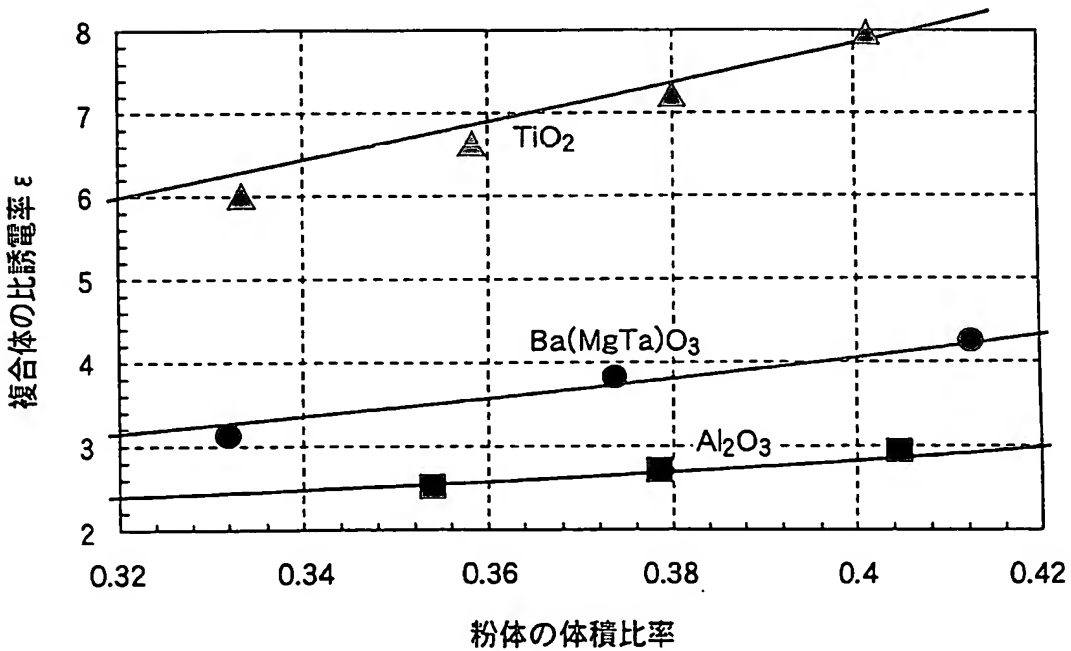


整理番号: 99P07166 特願2004-059742 (Proof) 提出日: 平成16年 3月 3日 12

【図20】 Fig. 20

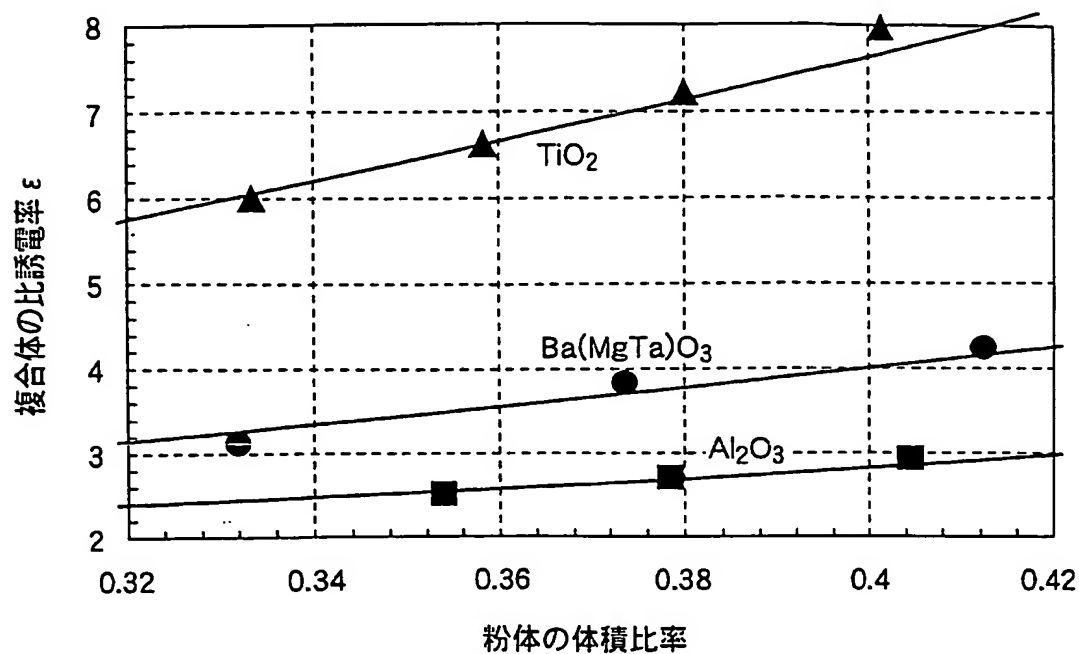


【図21】 Fig. 21

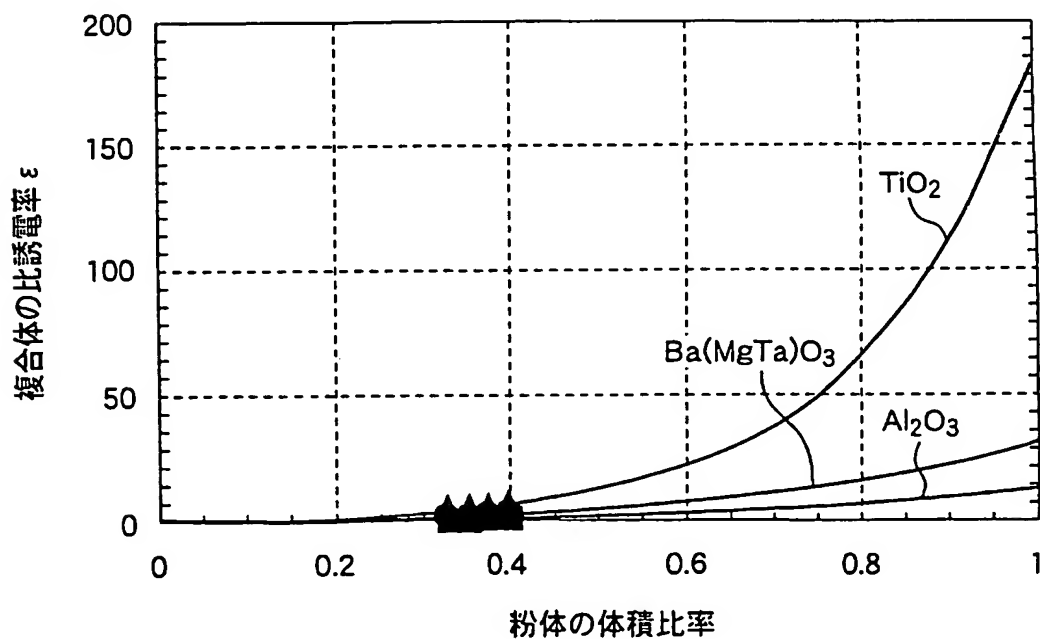


整理番号: 99P07166 特願2004-059742 (Proof) 提出日: 平成16年 3月 3日 13

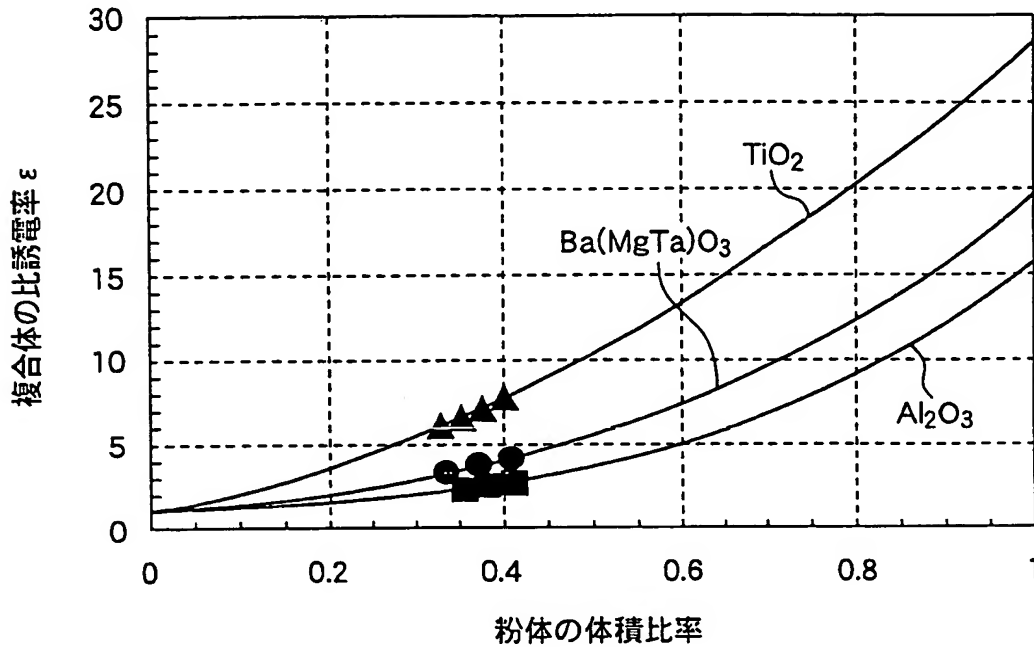
【図22】 Fig. 22



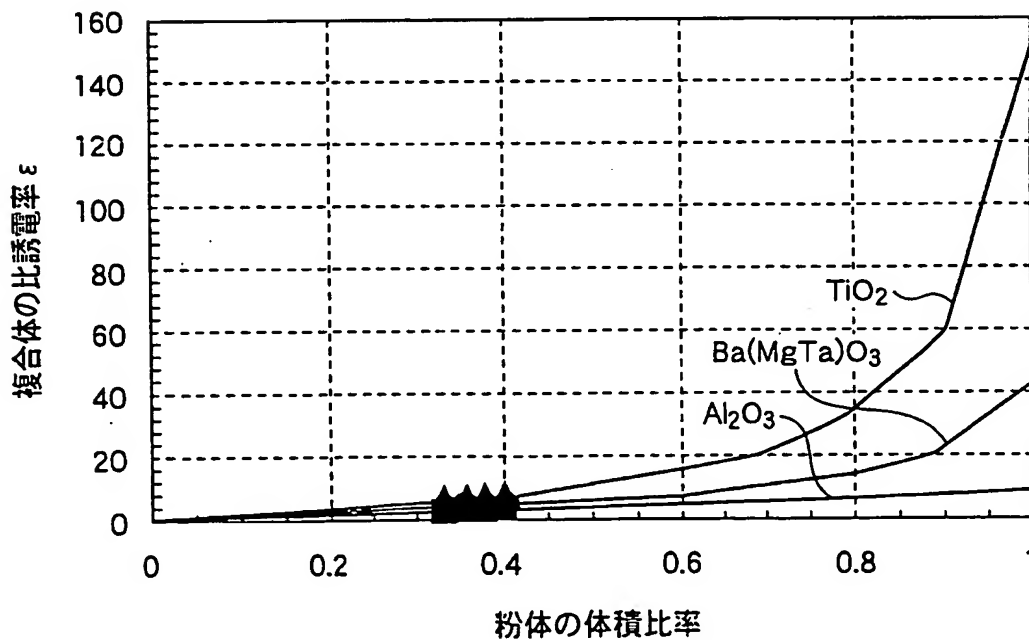
【図23】 Fig. 23



【~~図24~~】 Fig. 24



【~~図25~~】 Fig. 25



整理番号: 99P07166 特願2004-059742 (Proof) 提出日: 平成16年 3月 3日 15

【図26】 Fig. 26

種類	焼結品の比誘電率	測定値
Al_2O_3	11	14.1
$\text{Ba}(\text{MgTa})\text{O}_3$	24	33.9
TiO_2	104	185.8

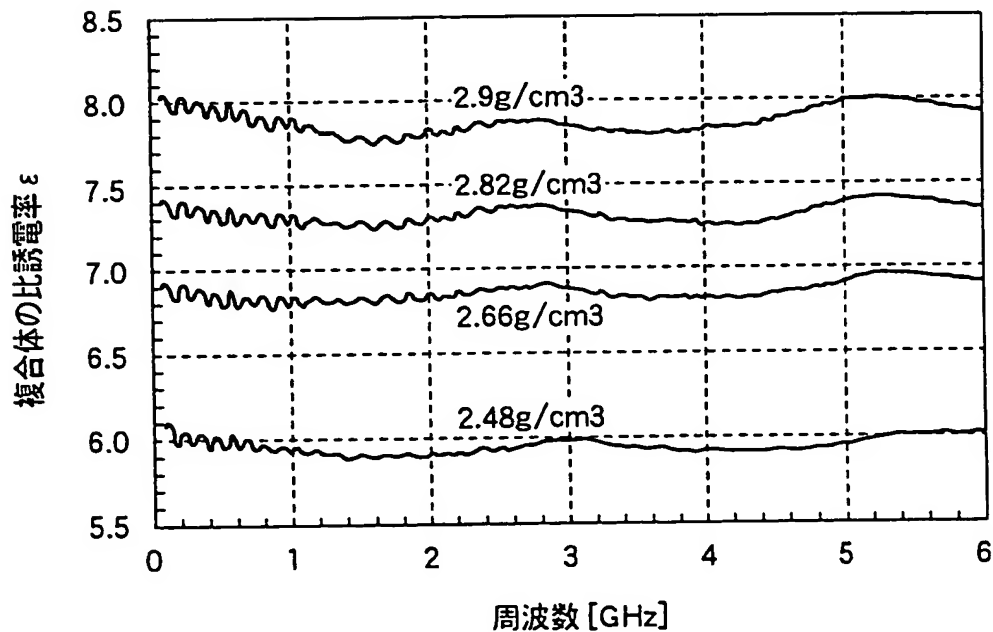
【図27】 ~~Fig. 27~~

種類	焼結品の比誘電率	測定値
Al_2O_3	11	15.7
$\text{Ba}(\text{MgTa})\text{O}_3$	24	19.4
TiO_2	104	28.2

~~【図28】~~ Fig. 28

種類	焼結品の比誘電率	測定値
Al ₂ O ₃	11	8.75
Ba(MgTa)O ₃	24	42.7
TiO ₂	104	152.3

~~【図29】~~ Fig. 29



整理番号: 99P07166 特願2004-059742 (Proof) 提出日: 平成16年 3月 3日 17

~~【図30】~~ Fig. 30

種類	焼結品の比誘電率	粉体の体積比が0.38のときの 混合体の比誘電率
Al_2O_3	11	2.7
$\text{Ba}(\text{MgTa})\text{O}_3$	24	3.8
TiO_2	104	7.3

整理番号: 99P07166 特願2004-059742 (Proof) 提出日: 平成16年 3月 3日 18/E

【図31】 Fig. 31

